

Relatório 5: Difrações de Eletrons

Anna Beatriz R. Jaria

nº USP: 10732180

Resumo:

Neste experimento estudamos a difração de elétrons, onde nosso objetivo foi, além de estudá-la, relacioná-la com a difração de fôtons para determinar o espaçamento interatômico de determinadas estruturas. Podemos dizer que tivemos resultados satisfatórios e com erros pequenos.

Introdução:

Louis de Broglie, em 1924, propôs que uma partícula poderia também apresentar um comportamento de onda, isto é, partículas materiais como o elétron poderiam atuar exibindo características ondulatórias, do mesmo modo que o fôton apresenta propriedades de matéria. Ele enunciou que ondas de matéria têm seu comprimento de onda inversamente proporcional ao seu momento linear, de modo que:

$$\lambda = \frac{h}{p} = \frac{h}{mv} \quad (1)$$

Onde h é a constante de Planck e $p=mv$ é o momento da partícula. Para este conclusões, ele partiu do pressuposto que a relação de energia proposta por Planck era válida ($E=h\nu$, onde ν é a frequência de oscilação).

A partir da proposta de de Broglie, seria possível observar efeitos de difrações para um feixe de elétrons quando estes atravessarem uma grade relativamente fina composta as tempos de feixe, de forma que é possível mostrar que os elétrons acelerados por uma ddp, apresentam um comprimento de onda.

As construções de grades de difrações foram propostas por

Max von Laue, de forma que esses grãos eram construídos a partir da granularidade do material utilizado para a construção da grade. Um físico francês realizou um estudo com grades de uma rede cúbica de NiCl₂ para calcular o espaçamento interatômico desta estrutura cristalina.

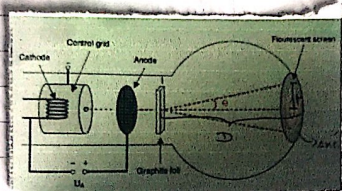


Figura 1: trajetória percorrida pelo elétron.

Assumindo que ele parte do repouso, e com a aplicação do ddp, se move e atravessa a região do catodo e anodo, desacionando uma variação em sua energia cinética e potencial elétrico, os quais se conversam já que não há trabalho externo realizado por forças externas. Observando os padrões de difração de elétrons é possível obter o espaçamento interatômico dos átomos de carbono ou qualquer outro material.

Metodologia:

Utilizamos um tubo (TEL-2555), que através de um catodo aquecido em um bulbo evacuado, produz um feixe de elétrons, o qual incide em uma grade composta por uma fina camada de cristais de grafite (carbono) e então produz uma figura na tela fosforescente nos superfícies externas do bulbo.

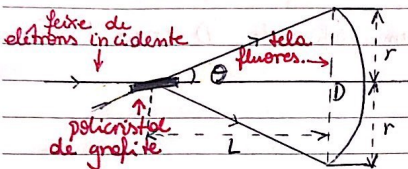
O tubo foi conectado a uma fonte DC de alto tensão, onde aplicou-se diferentes voltagens em um intervalo de 2,5 kV a 4 kV, em passos de 0,5 kV, de forma que era possível observar as variações dos padrões formados no bulbo. Anotou-se os diâmetros das circunferências presentes no bulbo (externa e

spiral)

interna). Com estes valores, confeccionou um gráfico relacionando o diâmetro com a tensão em que era aplicada, de forma que foi possível determinar o expoente dos planos interstíticos dos cristais de grafite.

Resultados:

1) Os componentes desse experimento estão representados no diagrama a seguir:



2) Distância entre contorno e a tela = $(0,13 \pm 0,001)$ m

$$3) \left(\frac{mv_f^2 - mv_i^2}{2} \right) + (eV_f - eV_i) = 0 \quad ; \quad v_i = 0 \quad e \quad V_i = 0$$

$$\Rightarrow mv_f^2 = eV_f \quad e \quad v_f = \sqrt{\frac{2eV_f}{m}} \quad (2)$$

\Rightarrow substituindo (2) em (1) :

$$\lambda = \frac{h}{\sqrt{2emV_f}} = (1,228 \cdot 10^{-9}) \cdot \frac{1}{\sqrt{V}} \quad (3)$$

\Rightarrow juntando com a equação de Bragg para pequenos ângulos:
 $n\lambda = d\theta \quad (4)$ e considerando $n = 1$

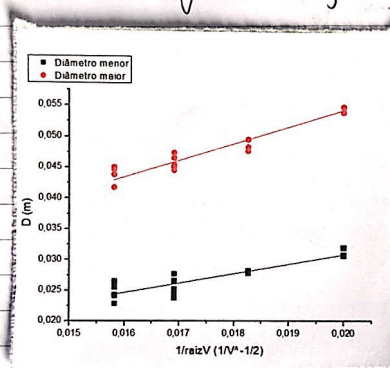
$$\hookrightarrow \theta = \frac{d}{2L} \quad (\text{pela figura}) \quad (5)$$

⇒ juntando (3), (4) e (5):

$$D = \frac{(1,228 \cdot 10^{-9}) 2L}{a} \cdot \frac{1}{\sqrt{V}}$$

$$y = a \cdot x$$

↳ $d = (1228 \cdot 10^{-9}) 2L$, onde d é o espaçamento interatômico de grafite. Com isso, faremos um gráfico de D versus $1/\sqrt{V}$:



↳ Pela regressão linear achamos:

$$\{ a_{menor} = 2,71878 \pm 0,01683$$

$$\{ a_{maior} = 1,54227 \pm 0,01705$$

↓

$$\{ d_{menor} = (1,174 \pm 0,001) \text{ \AA}$$

$$\{ d_{maior} = (2,070 \pm 0,003) \text{ \AA}$$

Obs: fórmula da incerteza de d :

$$\sigma_d = \sqrt{\left(\frac{1,228 \cdot 10^{-9} \cdot 2 \cdot \sigma_L}{a}\right)^2 + \left(\frac{-1,228 \cdot 10^{-9} \cdot 2 \cdot \sigma_a}{a^2}\right)^2}$$

↳ valores teóricos:

$$\left\{ \begin{array}{l} d_{\text{menor}} = 1,23\text{\AA} \\ d_{\text{maior}} = 2,13\text{\AA} \end{array} \right.$$



• Erro dos valores experimentais em relação aos teóricos:

$$\left\{ \begin{array}{l} e_{\text{menor}} = 4,55\% \\ e_{\text{maior}} = 2,82\% \end{array} \right.$$

II) Temos que os partículas devem ser muito pequenos para os experimentos de espalhamento para que seja possível uma boa resolução. Da equação 1, sabemos que λ é inversamente proporcional a p , fazendo com que esses experimentos necessitem de um alto valor de tensão. Sendo assim, o efeito relativístico não interfere.

Conclusões:

Pode-se concluir que conseguimos analisar bem a difração de elétrons e estudá-la de maneira satisfatória, tendo em vista que os resultados obtidos foram de acordo com o esperado, com um erro baixo em relação aos valores teóricos.

Referências:

- Textos de apóio disponibilizados: resumo carbono e resumo estrutura cristalina;
- IFSC.